

© 1992

ВЫЧИСЛЕНИЕ ЭФФЕКТИВНЫХ КОНСТАНТ ВЗАИМОДЕЙСТВИЯ МЕЖДУ BX₄-ТЕТРАЭДРАМИ В КРИСТАЛЛАХ ТИПА K₂SO₄

Н. Г. Замкова, В. И. Зиненко

В рамках электростатической модели вычислены эффективные константы взаимодействия тетраэдрических BX₄-групп в кристаллах семейства ACBX₄. Приводится вычисление этих констант в модели с прямым октуполь-октупольным взаимодействием BX₄-групп и их косвенным взаимодействием через решетку ионов металла с учетом диполь-дипольного взаимодействия последних. Расчет проведен для четырех кристаллов: Rb₂ZnCl₄, K₂SeO₄, KLiSO₄, CsLiSO₄ для модели, в которой BX₄-группы имеют четыре равновероятных положения равновесия. Рассчитаны структуры, упорядоченных при T = 0 фаз. Получено уточнение периода вдоль гексагональной оси в основном состоянии для кристаллов K₂SeO₄ и Rb₂ZnCl₄.

Большое семейство кристаллов с общей формулой ACBX₄ (где A, C — щелочные металлы или ионы NH₄, а BX₄ — тетраэдрические ионы SO₄, SeO₄, ZnCl₄, ZnBr₄, BeF₄ и т. д.) уже много десятилетий привлекает внимание исследователей. Изучению структур, физических свойств и фазовых превращений в этих кристаллах посвящено огромное число работ. В зависимости от химического состава и внешних условий (например, температуры и давления) кристаллы данного семейства обладают большим разнообразием структур, фазовых переходов и необычных физических свойств. Кристаллические структуры соединений ACBX₄ к настоящему времени достаточно хорошо изучены, и в литературе их принято делить на несколько типов, различающихся между собой ориентацией тетраэдров BX₄ по отношению как друг к другу, так и к кристаллографическим осям. Подробные сведения о структурах и структурных типах можно найти в обзора [1, 2] и в недавно написанной книге [3]. Здесь важно подчеркнуть, что известные к настоящему времени структуры рассматриваемых веществ имеют одно общее свойство: все они являются производными от высокосимметричной гексагональной фазы с пространственной группой P6₃/m_{mm} (D_{6h}^4). Сама эта фаза наблюдается при высоких температурах в некоторых соединениях (K₂SO₄ [4], Na₂SO₄, Tl₂SeO₄, Na₂BeF₄ [2]). Однако и в кристаллах, имеющих более низкосимметричные структуры вплоть до температур плавления или разложения, признаки гексагональной фазы проявляются, например, в виде доменной структуры (NH)₂SO₄ [5]).

Существенной особенностью гексагональной фазы рассматриваемых кристаллов является то, что в ней тетраэдрические группы BX₄ с необходимостью разупорядочены по некоторым положениям равновесия, и, таким образом, наблюдаемые искаженные структуры есть результат фазовых переходов, связанных с однородными или неоднородными упорядочениями этих групп. Структурные фазовые переходы в этих соединениях также достаточно подробно изучены. Здесь имеется большое разнообразие фазовых переходов как второго, так и первого рода, часто сопровождающихся необычными, а иногда и уникальными изменениями физических свойств. Во многих из рассматриваемых кристаллов наблюдаются последовательности из нескольких фазовых переходов. В последние годы большое внимание уделялось исследованию модулированных и несоразмерных фаз, которые наблюдаются в нескольких представителях данного семейства кристаллов. Сведения о результатах этих исследований можно найти в работах [6–8].

Теоретические исследования фазовых переходов в кристаллах рассматривающего семейства развивались в рамках различных подходов. Часть теоретических работ посвящена феноменологической теории в отдельных кристаллах семейства ACBX_4 , в том числе и с промежуточной несоразмерной фазой [9–11]. Имеется несколько работ, в которых обсуждаются статистические модели структурных фазовых переходов в данных кристаллах [12–14].

Недавно в работе [15] для кристалла Rb_2ZnCl_4 были проведены расчеты из «первых принципов» структур паразелектрической и сегнетоэлектрической фаз и обсуждались причины возникновения несоразмерной фазы.

Статистическая модель гексагональной разупорядоченной фазы и последовательных фазовых переходов из нее в низкосимметричные фазы предложена в работах [12, 13]. В этой модели предположено, что в фазе D_{6h}^1 тетраэдры BX_4 разупорядочены по четырем равновероятным положениям рановесия и фазовые переходы связаны с частичным или полным упорядочением этих тетраэдров. В работах [12, 13] обсуждается термодинамика таких переходов для некоторых представителей семейства. Необходимо отметить, однако, что в работах [12, 13] рассмотрены только такие низкосимметричные фазы, которые испытывают фазовый переход из частично упорядоченной ромбической фазы с пространственной группой D_{2h}^6 с четырьмя молекулами в элементарной ячейке. Хотя эта фаза является паразелектрической фазой для многих кристаллов данного семейства, рассмотренные в [12, 13] случаи последовательных переходов $D_{6h}^1 (z=2) \Rightarrow D_{2h}^6 (z=4)$ ⇒ некие низкосимметричные фазы (а также переходы между ними) не исчерпывают всех наблюдаемых упорядоченных фаз и последовательных переходов в кристаллах ACBX_4 . Тем не менее даже для этого частного случая при описании термодинамики фазовых переходов возникает большое число неизвестных параметров модельного гамильтонiana — эффективных констант взаимодействия между тетраэдрами BX_4 . В работе [16] была предложена более полная модель с двенадцатиминимумным потенциалом для тетраэдров BX_4 в гексагональной фазе D_{6h}^1 , в рамках которой возможно писать все наблюдаемые упорядочения BX_4 -тетраэдров в низкосимметричных фазах. И хотя в [16] термодинамика фазовых переходов не рассматривалась, видно, что число неизвестных параметров гамильтонiana при этом катастрофически возрастает.

В связи с этим представляется важным и интересным вычислить эти константы взаимодействия для различных кристаллов семейства ACBX_4 . Вычислению констант взаимодействия в рамках электростатической модели посвящена данная работа. Мы будем исходить из предположения, что статистика фазовых переходов в рассматриваемых кристаллах описывается моделью разупорядоченных по n равновероятным состояниям тетраэдров BX_4 , взаимодействующих между собой с эффективными константами, включающими в себя как прямое октуполь-октупольное взаимодействие тетраэдров BX_4 , так и косвенные взаимодействия через поляризумости и колебания ионов металлов. Возможность сведения к такой модели в отсутствие туннелирования и в гармоническом приближении по колебаниям ионов показана в ряде работ, например [17, 18]. Подобные расчеты проводились для кубических кристаллов галогенидов аммония [19, 20], где статистика фазовых переходов описывается моделью Изинга, т. е. $n = 2$. Расчет октуполь-октупольного взаимодействия для свободно врачающихся тетраэдрических групп в кубических кристаллах метана проводился в работе [21].

В разделе 1 будет изложен метод расчета. Результаты расчета эффективных констант взаимодействия между тетраэдрами BX_4 для нескольких представителей семейства (K_2SeO_4 , Rb_2ZnCl_4 , CsLiSO_4 , KLiSO_4) и для модели четырехминимумного потенциала будут представлены в разделе 2. Константы взаимодействия медленно спадают с увеличением расстояния и осциллируют по знаку. Для упомянутых выше кристаллов будут вычислены фазы основного состояния и, в частности, будет показано, что для кристаллов K_2SeO_4 и Rb_2ZnCl_4 объем эле-

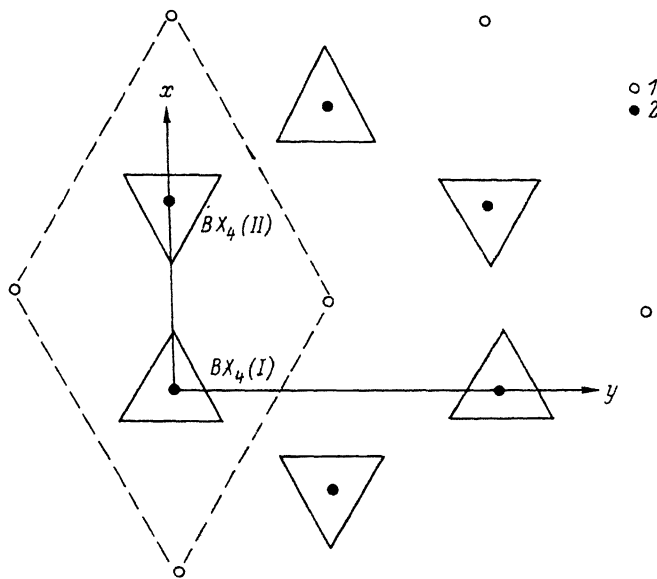


Рис. 1. Проекция средней структуры на плоскость, перпендикулярную гексагональной оси, кристаллов семейства $ACBX_4$ в высокосимметричной фазе D_{6h}^4 .

1 — металлы типа А, 2 — металлы типа С.

ментарной ячейки фазы при $T = 0$ увеличивается в шесть раз по отношению к объему ячейки гексагональной фазы и что здесь имеется утройство ячейки вдоль гексагональной оси.

1. Гамильтониан и эффективные взаимодействия

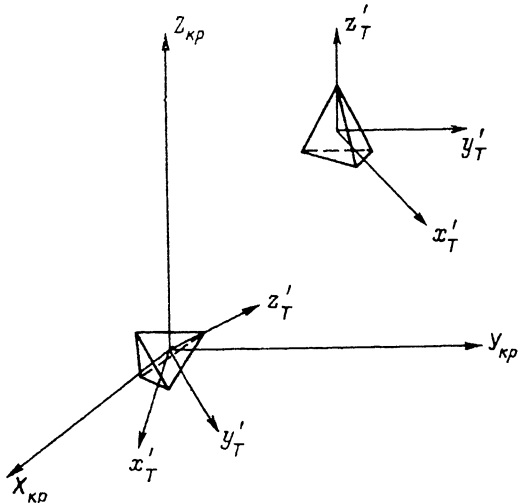
С учетом структуры рассматриваемых кристаллов (рис. 1) исходим из гамильтониана

$$\begin{aligned}
 H = & -\frac{1}{2} \sum V_{oo}^{11} (\mathbf{r} - \mathbf{r}') C_i^1(\mathbf{r}) C_j^1(\mathbf{r}') - \frac{1}{2} \sum V_{oo}^{22} (\mathbf{r} - \mathbf{r}') C_i^2(\mathbf{r}) C_j^2(\mathbf{r}') - \\
 & - \sum V_{oo}^{12} (\mathbf{r} - \mathbf{r}') C_i^1(\mathbf{r}) C_j^2(\mathbf{r}') + \sum F_{od}^{1A} (\mathbf{r} - \mathbf{r}') C_i^1(\mathbf{r}) d_A(\mathbf{r}') + \\
 & + \sum F_{od}^{1C} (\mathbf{r} - \mathbf{r}') C_i^1(\mathbf{r}) d_C(\mathbf{r}') + \sum F_{od}^{2A} (\mathbf{r} - \mathbf{r}') C_i^2(\mathbf{r}) d_A(\mathbf{r}') + \\
 & + \sum F_{od}^{2C} (\mathbf{r} - \mathbf{r}') C_i^2(\mathbf{r}) d_C(\mathbf{r}') + \frac{1}{2\alpha_A} \sum d_A^2(\mathbf{r}) \frac{1}{2\alpha_C} \sum d_C^2(\mathbf{r}) + \\
 & + \frac{1}{2} \sum D_{ab}^A (\mathbf{r} - \mathbf{r}') d_A^a(\mathbf{r}) d_A^b(\mathbf{r}') + \frac{1}{2} \sum D_{ac}^C (\mathbf{r} - \mathbf{r}') d_C^a(\mathbf{r}) d_C^b(\mathbf{r}') + \\
 & + \sum D_{ab}^{AC} (\mathbf{r} - \mathbf{r}') d_A^a(\mathbf{r}) d_C^b(\mathbf{r}'). \tag{1}
 \end{aligned}$$

Здесь мы учтем, что в гексагональной фазе элементарная ячейка содержит две неэквивалентные группы BX_4 , которые мы различаем индексами 1, 2. В (1)

$$C_i^{1,2}(\mathbf{r}) = \begin{cases} 1, & \text{если группа } BX_4 \text{ занимает положение } i, \\ 0 & \text{в противоположном случае,} \end{cases}$$

Рис. 2. Кристаллическая и подвижная системы координат.



$V_{\infty}^{k/l}(\mathbf{r} - \mathbf{r}')$ есть матрица прямого октуполь-октупольного взаимодействия между тетраэдрами BX_4 , которые мы предполагаем везде в дальнейшем правильными; d_A , с — дипольные моменты ионов металлов А, С, которые считаются точечными диполями с поляризостями α_A и α_C ; D_{ab} — матрицы диполь-дипольного взаимодействия между ионами металлов А, С; F_{od} — матрица октуполь-дипольных взаимодействий.

С помощью обычных преобразований (см., например, [18], § 6) переходим от (1) к эффективному гамильтониану

$$H_{\text{эфф}} = -\frac{1}{2} \sum V_{ij}^{11}(\mathbf{r} - \mathbf{r}') C_i^1(\mathbf{r}) C_j^1(\mathbf{r}') - \frac{1}{2} \sum V_{ij}^{22}(\mathbf{r} - \mathbf{r}') C_i^2(\mathbf{r}) C_j^2(\mathbf{r}') - \sum V_{ij}^{12}(\mathbf{r} - \mathbf{r}') C_i^1(\mathbf{r}) C_j^2(\mathbf{r}'), \quad (2a)$$

где

$$V_{ij}^{k/l}(\mathbf{r}) = V_{\infty}^{k/l}(\mathbf{r}) + \xi_A \xi_C W(\mathbf{r}), \quad \xi_{A,C} = \frac{\alpha_{A,C}}{a_0^3}, \quad (26)$$

$$W(\mathbf{r}) = \frac{1}{v_0} \iiint W(\mathbf{q}) \exp(-i\mathbf{qr}) d^3\mathbf{q}, \quad (3a)$$

$$W(\mathbf{q}) = \sum [J_{ab}^A(\mathbf{q}) J_{ab}^C(\mathbf{q}) - (D_{ab}^{AC}(\mathbf{q}))^2 \xi_A \xi_C]^{-1} \left\{ \sum [F_{\alpha n}^A(\omega_1, \mathbf{q}) \times F_{\beta m}^C(\omega_2, \mathbf{q}) + F_{\beta m}^A(\omega_2, \mathbf{q}) F_{\alpha n}^C(\omega_1, \mathbf{q})] D_{ab}^{AC}(\mathbf{q}) - F_{\alpha n}^A(\omega_1, \mathbf{q}) \times F_{\beta m}^A(\omega_2, \mathbf{q}) J_{ab}^C(\mathbf{q})/\xi_C - F_{\alpha n}^C(\omega_1, \mathbf{q}) F_{\beta m}^C(\omega_2, \mathbf{q}) J_{ab}^A(\mathbf{q})/\xi_A \right\}, \quad (36)$$

$J_{ab}^{A,C}(\mathbf{q}) = E_{ab} + \xi_{A,C} D_{ab}^{A,C}(\mathbf{q})$, где E_{ab} — единичная матрица; D_{ab}^A , D_{ab}^C , D_{ab}^{AC} — матрицы внутри и межподрешеточного диполь-дипольного взаимодействия ионов металлов типа А и типа С; $F^{A,C}(\omega, \mathbf{q})$ — Фурье-образ матриц октуполь-дипольного взаимодействия, явный вид которых будет выписан ниже.

а) Октуполь-октупольное взаимодействие. Для вычисления эффективных констант взаимодействия между тетраэдрами BX_4 мы выбираем систему координат (рис. 2). В кристаллографической системе координат ось Z совпадает с осью 6-го порядка. В системе координат тетраэдра BX_4 ось z направлена по оси 3-го порядка тетраэдра. Поскольку группы BX_4 считаются правильными тетраэдрами, то первым отличным от нуля будет октупольный момент

$$I_3 = \sqrt{\frac{4\pi}{7}} \int r^5 a_3(\mathbf{r}) dr, \quad (4a)$$

$a_3(\mathbf{r})$ — коэффициент разложения плотности заряда по тетраэдрическим полносимметричным гармоникам

$$\rho(r', \Omega') = \sum a_{3k}(r') T_{3k}^A(\Omega'), \quad (46)$$

k — число полносимметричных гармоник с $l=3$; штрихи означают подвижную систему координат тетраэдра; $T_{3k} = \sum S_{3\alpha} Y_{3\alpha}$, $Y_{3\alpha}$ — сферические гармоники.

Энергия октуполь-октупольного взаимодействия имеет вид

$$W_{oo} = (R) = \iint \frac{1}{r_{12}} \rho(r_1, \Omega_1) \rho(r_2, \Omega_2) dr_1 dr_2, \quad (5)$$

R — расстояние между центрами двух тетраэдрических распределений зарядов; r_{12} — расстояние между точками в этих распределениях. Раскладывая $1/r_{12}$ по сферическим гармоникам [21]

$$\frac{1}{r_{12}} = \frac{1}{R} \sum B_{33}^m \left(\frac{r_1}{R} \right)^3 \left(\frac{r_2}{R} \right)^3 Y_{3m}(\Omega'_1) Y_{3m}(\Omega'_2) \quad (6)$$

(углы $\Omega_i = (\nu_i, \varphi_i)$ отсчитываются от направления R) и переходы в (6) к тетраэдрическим гармоникам, записываем все в кристаллографической системе координат

$$W_{oo}(R, \omega_1, \omega_2) = \frac{I_3^2}{R^7} \sum C_n(\omega_R) u_r(\omega_1) u_v(\omega_2), \quad (7)$$

где углы Эйлера $\omega_i = (\alpha_i, \beta_i, \gamma_i)$, описывающие положения тетраэдра, отсчитываются от напряжения вектора R , задаваемого ω_R . Коэффициенты разложения $C_n(\omega_R)$, являющиеся функцией углов Эйлера, определяют угловое положение тетраэдров относительно друг друга,

$$u_r(\omega) = \sum S_{rm}^* D_{mm'}(\omega) S_{1m'} \quad (8)$$

— тетраэдрические роторные функции, а $D_{mm'}(\omega)$ — матрица Вигнера [22].

Явные выражения для $u_r(\omega)$ мы здесь выписывать не будем из-за их громоздкости, однако следует подчеркнуть, что для данного выбора системы координат (рис. 2), связанного с обсуждаемой здесь гексагональной симметрией, матрица $[S]$ отличается от используемой в [19–21] для кубических кристаллов.

б) Октуполь-дипольное взаимодействие. Считая ионы металла как точечные ионы с наведенным дипольным моментом $d(r)$, для энергии октуполь-дипольного взаимодействия имеем

$$F_{od} = d(r_0') \int \rho_T(r'_T, \Omega'_T) \nabla'_0 \frac{1}{(r'_T - r'_0)} dr'_T. \quad (9)$$

Здесь, как и выше, штрих означает подвижную систему координат тетраэдра. Используя разложение (46) для ρ_T и раскладывая $1/(r'_T - r'_0)$ по тетраэдрическим гармоникам, получим

$$F_{od}(r) = \sqrt{\frac{4\pi}{7}} I_3 d(r) \sum u_r(\omega) \nabla'_0 \frac{T_{3r}(\Omega_0)}{r_0^4}, \quad (10)$$

где r_0, Ω_0 — координаты иона металла в кристаллографической системе координат. Фурье-образ $F_{od}(r)$ в выражении (36) имеет вид

$$F_{\alpha n}(\omega, q) = u_n(\omega) \sum_{r_i} \left(\frac{\partial}{\partial x_\alpha} \frac{T_{3n}(\Omega_i)}{r_i^4} \right) \exp(iqr_i), \quad (11)$$

i — число ионов металла.

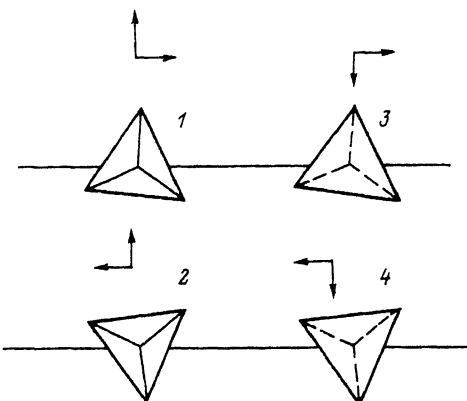


Рис. 3. Четыре положения равновесия BX_4 -группы в гексагональной фазе.

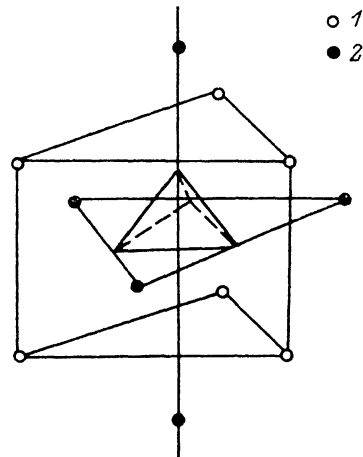


Рис. 4. Ближайший полиэдр металлов, окружающий BX_4 -группу.

1 — металлы типа А, 2 — металлы типа С.

3. Вычисление констант взаимодействия для некоторых представителей семейства в модели четырехминимумного потенциала

Формулы (4)–(11) записаны для любого числа равновероятных положений тетраэдров BX_4 в разупорядоченной фазе. Здесь мы проведем расчет эффективных констант взаимодействия для модели, предложенной в [12, 13], когда BX_4 -тетраэдр в гексагональной фазе имеет четыре равновероятных положения равновесия. Как показано в работе [13], данная модель правильно описывает упаковочные структуры и многообразие последовательных фазовых переходов в различных кристаллах семейства ACBX_4 . Четыре положения тетраэдра BX_4 показаны на рис. 3. Когда тетраэдр с вероятностью $1/4$ занимает каждое из этих положений, его «среднее» положение описывается углами Эйлера ($\alpha = 0, \beta = 0, \gamma = 0$). Положение 1 задается углами ($\alpha = \alpha_0, \beta = 0, \gamma = 0$). Остальные положения равновесия получаются из положения 1 путем отражения его в плоскостях симметрии m_1 и m_2 (рис. 3). Матрица коэффициентов $S_{\tau m}$ в (8) имеет вид

$$\begin{matrix} -a & c & -c & c & im & -im & im \\ 0 & d & g - ih & -g - ih & -ie & -l - ik & -l + ik \\ 0 & e & k + il & -k + il & -id & h - ig & h + ig \\ -b & -f & f & -f & 0 & o & 0 \\ 0 & -e & -k + il & k + il & -id & -h - ig & -h + ig \\ 0 & d & g + ih & -g + ih & ie & -l + ik & -l - ik \\ a & -c & c & -c & im & -im & im \end{matrix}$$

Здесь $a = \sqrt{2}/3$, $b = \sqrt{3}/3$, $c = \sqrt{30}/18$, $d = \sqrt{10}/6$, $e = \sqrt{2}/6$, $f = 2\sqrt{3}/9$, $g = \sqrt{10}/12$, $h = \sqrt{30}/12$, $k = \sqrt{2}/12$, $l = \sqrt{6}/12$, $m = \sqrt{6}/6$.

Выражения для тетраэдрических функций $u_\tau(\omega)$ в (8) имеют вид

$$u_1(1) = \frac{5}{9} + \frac{4}{9} \cos 3\alpha_0,$$

$$u_2(1) = -u_3(1) = u_4(1) = \frac{2\sqrt{15}}{27} (1 - \cos 3\alpha_0),$$

$$u_5(1) = -u_6(1) = u_7(1) = -\frac{2\sqrt{3}}{9} \sin 3\alpha_0,$$

$$\begin{aligned} u_1(2) &= u_1(1), \\ u_2(2) &= -u_3(2) = u_4(2) = u_2(1), \\ u_5(2) &= -u_6(2) = u_7(2) = -u_5(1), \\ u_r(3) &= -u_r(1), \\ u_r(4) &= -u_r(2). \end{aligned} \quad (12)$$

При вычислении F_{od} в (3), (11) мы учитывали взаимодействие BX_4 -тетраэдров с ближайшим полиэдром металлов, содержащим 6 металлов типа А и 5 металлов типа С (рис. 4). Матрицы диполь-дипольного взаимодействия D_{ϕ}^A , D_{ϕ}^C , D_{ϕ}^{AC} , входящие в (3), рассчитывались методом Эвальда [23, 24]. Интеграл по q в (3а) брался методом Гаусса.

Здесь мы приведем результаты вычислений констант эффективного взаимодействия между тетраэдрами BX_4 для четырех представителей семейства ACBX_4 : K_2SeO_4 , Rb_2ZnCl_4 , CsLiSO_4 , KLiSO_4 . Для каждого из этих кристаллов расчет проведен при значениях поляризуемостей α_A и α_C , взятых из экспериментальных данных [25]. В табл. 1 приведены используемые при расчете параметры кристаллов. Величину угла α_0 мы брали из экспериментального значения для кристалла CsLiSO_4 в низкосимметричной фазе [26] и использовали эту же величину для остальных кристаллов. Следует отметить, что значения констант взаимодействия не очень чувствительны к небольшим изменениям угла α_0 .

Согласно симметрии положений равновесия тетраэдра BX_4 (рис. 3) и симметрии кристалла (рис. 1), матрицы $V_{ij}(R)$ имеют вид

$$\begin{matrix} V_{11} & V_{12} & V_{13} & V_{14} \\ V_{12} & V_{11} & V_{14} & V_{13} \\ V_{13} & V_{14} & V_{11} & V_{12} \\ V_{14} & V_{13} & V_{12} & V_{11} \end{matrix} \quad (13)$$

Здесь мы ограничились вычислением эффективных констант внутри- и межподрешеточных взаимодействий до $R = \sqrt{3}$ включительно. Результаты расчета приведены в табл. 2, 3. В табл. 2 для кристалла K_2SeO_4 показано изменение констант V_{ij} с расстоянием отдельно для октуполь-октупольного взаимодействия и эффективного взаимодействия через ионы металлов.

Таблица 1

Параметры кристаллов, используемые при расчете эффективных констант взаимодействия

Кристалл	$a_0, \text{\AA}$	$c_0, \text{\AA}$	$\alpha_C, \text{\AA}^3$	$\alpha_A, \text{\AA}^3$	$I_3^2/k\alpha_0^7, \text{K}$
Rb_2ZnCl_4	7.282	9.255	1.79	1.79	96
K_2SeO_4	6.003	7.660	1.201	1.201	53.8
KLiSO_4	5.147	8.633	0.029	1.201	95
CsLiSO_4	5.456	8.820	0.029	3.137	63.4

Таблица 2

Октуполь-октупольные и октуполь-дипольные константы взаимодействия BX₄-групп в кристалле K₂SeO₄ (в единицах I_3^2/ka_0^7)

R	V_{11}	V_{12}	V_{13}	V_{14}
Октуполь-октупольные константы				
$(c_0^2/4 + a_0^2/3)^{1/2}$	—30.989	—31.635	33.571	32.926
a_0	—10.667	—10.889	11.556	11.333
c_0	—2.113	—2.154	2.030	1.988
$(c_0^2/4 + 4a_0^2/3)^{1/2}$	—1.543	—1.581	1.672	1.634
$(c_0^2 + a_0^2)^{1/2}$	—0.368	—0.376	0.399	0.391
$a_0\sqrt{3}$	—0.228	—0.233	0.247	0.242
Октуполь-дипольные константы				
$(c_0^2/4 + a_0^2/3)^{1/2}$	29.077	25.000	—10.506	—14.589
a_0	2.518	0.819	—13.603	—15.302
c_0	12.121	11.974	—13.221	—13.368
$(c_0^2/4 + 4a_0^2/3)^{1/2}$	—3.077	—0.865	—8.785	—6.572
$(c_0^2 + a_0^2)^{1/2}$	0.477	1.595	—3.337	—2.222
$a_0\sqrt{3}$	—0.499	—0.373	—0.424	—0.298

Таблица 3

Эффективные константы взаимодействия BX₄-групп (в единицах I_3^2/ka_0^7)

Кристалл	V_{11} (R)	V_{12} (R)	V_{13} (R)	V_{14} (R)	R
Rb ₂ ZnCl ₄	—1.912	—6.635	23.066	18.343	
K ₂ SeO ₄	3.633	—1.853	21.720	16.240	
KLiSO ₄	—4.210	—5.458	5.488	4.240	$(c_0^2/4 + a_0^2/3)^{1/2}$
CsLiSO ₄	0.540	—2.254	1.576	—1.219	
Rb ₂ ZnCl ₄	—8.149	—10.070	—2.047	—3.969	
K ₂ SeO ₄	—7.619	—9.905	—4.942	—7.221	a_0
KLiSO ₄	—8.319	—7.402	8.587	9.503	
CsLiSO ₄	—5.030	—1.584	4.848	8.293	
Rb ₂ ZnCl ₄	—4.620	—2.446	—7.113	—4.938	
K ₂ SeO ₄	—5.237	—2.667	—9.013	—6.438	
KLiSO ₄	—0.285	0.272	—1.715	—1.157	$(c_0^2/4 + 4a_0^2/3)^{1/2}$
CsLiSO ₄	0.390	1.789	—5.505	—4.107	
Rb ₂ ZnCl ₄	10.133	9.944	—11.067	—11.255	
K ₂ SeO ₄	12.120	11.839	—13.665	—13.712	
KLiSO ₄	0.176	—0.277	—2.943	—3.395	c_0
CsLiSO ₄	0.173	—1.143	—5.930	—7.247	
Rb ₂ ZnCl ₄	—0.728	—0.606	—0.177	—0.056	
K ₂ SeO ₄	—0.796	—0.612	—0.517	—0.331	
KLiSO ₄	—0.151	—0.149	—0.143	0.144	$a_0\sqrt{3}$
CsLiSO ₄	0.197	0.199	—0.212	—0.212	

4. Обсуждение результатов

Как видно из табл. 2, 3, эффективные константы взаимодействия между тетраэдрами BX₄ в рассматриваемых здесь кристаллах осцилируют с расстоянием как по величине, так и по знаку. Кроме того, видно, что наиболее сильное взаимодействие между тетраэдрами имеет «антиферромагнитный» характер и из-за гексагональной симметрии разупорядоченной фазы это приводит к фрустации. Такой характер взаимодействия затрудняет исследование не только термодинамики фазовых переходов, но даже структуры основного состояния рассматриваемых здесь соединений.

При изучении структуры упорядоченных при $T = 0$ фаз мы ограничивались возможностью удвоения параметров ячейки вдоль осей a_0 и b_0 в плоскости, перпендикулярной гексагональной оси, и утройства параметра c_0 (во всех известных нам экспериментально изученных структурах кристаллов семейства ACBX₄ большого изменения объема элементарной ячейки по отношению к объему гексагональной фазы не наблюдается). Поскольку число возможных конфигураций BX₄-групп при этом оказывается очень большим ($\approx 10^{15}$), анализ был проведен в два этапа. Сначала был рассмотрен «малый» кластер, содержащий два слоя тетраэдров BX₄. Для этого кластера были найдены энергии всех конфигураций. Затем были рассмотрены различные упорядочения слоев относительно друг друга в «большом» кластере, учитывая возможность утройства ячейки вдоль гексагональной оси. При этом конфигурации «малого» кластера, имеющие высокие энергии, не учитывались.

В результате мы получили, что K₂SeO₄ и Rb₂ZnCl₄ при $T = 0$ имеют полярную пространственную группу C_{2v}^0 , с двенадцатью молекулами на элементарную ячейку. При этом числа заполнения n_i^j ² следующие:

$R = 0, 0, 0$	$n \frac{1}{1} = 1$	$n \frac{1}{i} = 0 (i = 2, 3, 4)$,
$R = a_0, 0, 0$	$n \frac{1}{3} = 1$	$n \frac{1}{i} = 0 (i = 1, 2, 4)$,
$R = \frac{1}{2}a_0, \frac{\sqrt{3}}{2}a_0, 0$	$n \frac{1}{1} = 1$	$n \frac{1}{i} = 0 (i = 2, 3, 4)$,
$R = -\frac{1}{2}a_0, \frac{\sqrt{3}}{2}a_0, 0$	$n \frac{1}{3} = 1$	$n \frac{1}{i} = 0 (i = 1, 2, 4)$,
$R = 0, 0, \frac{1}{2}c_0$	$n \frac{2}{2} = 1$	$n \frac{2}{i} = 0 (i = 1, 3, 4)$,
$R = a_0, 0, \frac{1}{2}c_0$	$n \frac{2}{4} = 1$	$n \frac{2}{i} = 0 (i = 1, 2, 3)$,
$R = \frac{1}{2}a_0, \frac{\sqrt{3}}{2}a_0, \frac{1}{2}c_0$	$n \frac{2}{2} = 1$	$n \frac{2}{i} = 0 (i = 1, 3, 4)$,
$R = -\frac{1}{2}a_0, \frac{\sqrt{3}}{2}a_0, \frac{1}{2}c_0$	$n \frac{2}{4} = 1$	$n \frac{2}{i} = 0 (i = 1, 2, 3)$,
$R = 0, 0, c_0$	$n \frac{1}{2} = 1$	$n \frac{1}{i} = 0 (i = 1, 3, 4)$,
$R = a_0, 0, c_0$	$n \frac{1}{4} = 1$	$n \frac{1}{i} = 0 (i = 1, 2, 3)$,
$R = \frac{1}{2}a_0, \frac{\sqrt{3}}{2}a_0, c_0$	$n \frac{1}{2} = 1$	$n \frac{1}{i} = 0 (i = 1, 3, 4)$,
$R = -\frac{1}{2}a_0, \frac{\sqrt{3}}{2}a_0, \frac{1}{2}c_0$	$n \frac{1}{4} = 1$	$n \frac{1}{i} = 0 (i = 1, 2, 3)$,
$R = 0, 0, \frac{3}{2}c_0$	$n \frac{2}{2} = 1$	$n \frac{2}{i} = 0 (i = 1, 3, 4)$,
$R = a_0, 0, \frac{3}{2}c_0$	$n \frac{2}{4} = 1$	$n \frac{2}{i} = 0 (i = 1, 2, 3)$,

$\mathbf{R} = \frac{1}{2} a_0, \frac{\sqrt{3}}{2} a_0, \frac{3}{2} c_0$	$n \frac{2}{2} = 1$	$n \frac{2}{i} = 0 (i = 1, 3, 4)$
$\mathbf{R} = -\frac{1}{2} a_0, \frac{\sqrt{3}}{2} a_0, \frac{3}{2} c_0$	$n \frac{2}{4} = 1$	$n \frac{2}{i} = 0 (i = 1, 2, 3)$
$\mathbf{R} = 0, 0, 2c_0$	$n \frac{1}{2} = 1$	$n \frac{1}{i} = 0 (i = 1, 3, 4)$
$\mathbf{R} = a_0, 0, 2c_0$	$n \frac{1}{4} = 1$	$n \frac{1}{i} = 0 (i = 1, 2, 3)$
$\mathbf{R} = \frac{1}{2} a_0, \frac{\sqrt{3}}{2} a_0, 2c_0$	$n \frac{1}{2} = 1$	$n \frac{1}{i} = 0 (i = 1, 3, 4)$
$\mathbf{R} = -\frac{1}{2} a_0, \frac{\sqrt{3}}{2} a_0, 2c_0$	$n \frac{1}{4} = 1$	$n \frac{1}{i} = 0 (i = 1, 2, 3)$
$\mathbf{R} = 0, 0, \frac{5}{2} c_0$	$n \frac{2}{1} = 1$	$n \frac{2}{i} = 0 (i = 2, 3, 4)$
$\mathbf{R} = 2_0, 0, \frac{5}{2} c_0$	$n \frac{2}{3} = 1$	$n \frac{2}{i} = 0 (i = 1, 2, 4)$
$\mathbf{R} = \frac{1}{2} a_0, \frac{\sqrt{3}}{2} a_0, \frac{5}{2} c_0$	$n \frac{2}{1} = 1$	$n \frac{2}{i} = 0 (i = 2, 3, 4)$
$\mathbf{R} = -\frac{1}{2} a_0, \frac{\sqrt{3}}{2} a_0, \frac{5}{2} c_0$	$n \frac{2}{3} = 1$	$n \frac{2}{i} = 0 (i = 1, 2, 4)$

Проекция структуры этой фазы показана на рис. 5. Эта структура, за исключением малых смещений металлов и малых искажений тетраэдров SeO_4 и ZnCl_4 , соответствует экспериментально наблюдаемым структурам в сегнетоэлектрической фазе в кристаллах K_2SeO_4 [27] и Rb_2ZnCl_4 [28].

В наших расчетах кристаллы CsLiSO_4 и KLiSO_4 также имеют одинаковую упорядоченную фазу при $T = 0$. Эта фаза соответствует неполярной пространственной группе C_2h с четырьмя молекулами на элементарную ячейку, и в этом случае нет изменения объема ячейки вдоль гексагональной оси. Числа заполнения при этом следующие:

$\mathbf{R} = 0, 0, 0$	$n \frac{1}{1} = 1$	$n \frac{1}{i} = 0 (i = 2, 3, 4)$
$\mathbf{R} = a_0, 0, 0$	$n \frac{1}{4} = 1$	$n \frac{1}{i} = 0 (i = 1, 2, 3)$
$\mathbf{R} = \frac{1}{2} a_0, \frac{\sqrt{3}}{2} a_0, 0$	$n \frac{1}{1} = 1$	$n \frac{1}{i} = 0 (i = 2, 3, 4)$
$\mathbf{R} = -\frac{1}{2} a_0, \frac{\sqrt{3}}{2} a_0, 0$	$n \frac{1}{4} = 1$	$n \frac{1}{i} = 0 (i = 1, 2, 3)$
$\mathbf{R} = 0, 0, \frac{1}{2} c_0$	$n \frac{2}{2} = 1$	$n \frac{2}{i} = 0 (i = 1, 3, 4)$
$\mathbf{R} = a_0, 0, \frac{1}{2} c_0$	$n \frac{2}{3} = 1$	$n \frac{2}{i} = 0 (i = 1, 2, 4)$
$\mathbf{R} = \frac{1}{2} a_0, \frac{\sqrt{3}}{2} a_0, \frac{1}{2} c_0$	$n \frac{2}{2} = 1$	$n \frac{2}{i} = 0 (i = 1, 3, 4)$
$\mathbf{R} = -\frac{1}{2} a_0, \frac{\sqrt{3}}{2} a_0, \frac{1}{2} c_0$	$n \frac{2}{3} = 1$	$n \frac{2}{i} = 0 (i = 1, 2, 4)$

Проекция структуры этой фазы показана на рис. 6. Для кристалла CsLiSO_4 полученная структура упорядоченной фазы совпадает с экспериментально наблюданной структурой этого кристалла при низких температурах [26]. В кристалле KLiSO_4 полученная здесь группа не совпадает с экспериментально установленной симметрией низкотемпературной фазы $Cmc2_1$ [29]. Однако структура низкотемпературной фазы в этом кристалле, по-видимому, не расшифрована и,

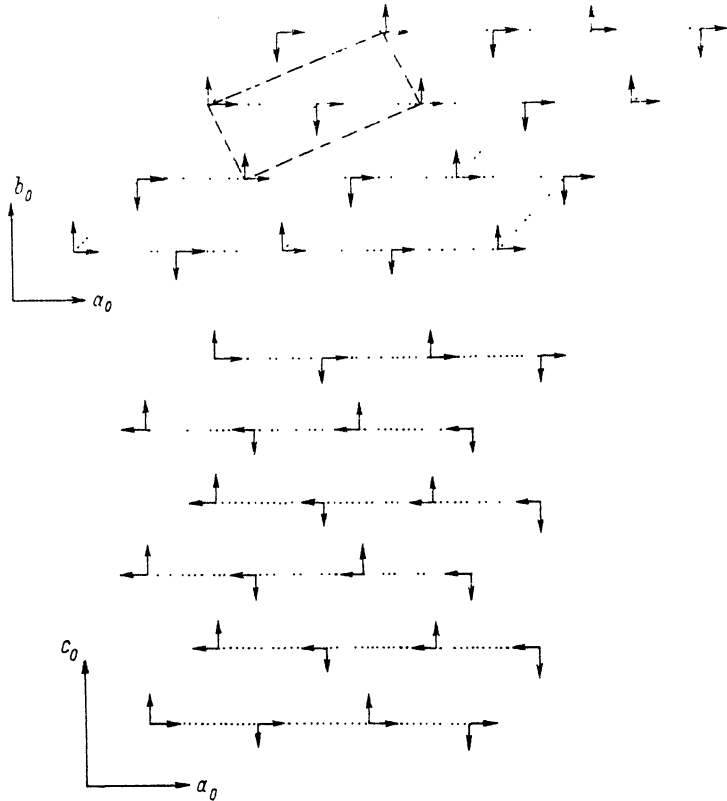


Рис. 5. Структура основного состояния для кристаллов K_2SeO_4 и Rb_2ZnCl_4 .

возможно, SO_4 -группы в ней занимают такие положения, которые не описываются моделью с четырьмя состояниями. Полученные результаты показывают, что использованная модель, по-видимому, достаточно полно описывает эффективные взаимодействия между тетраэдрами BX_4 в кристаллах рассматриваемого семейства. Факт, что эти взаимодействия осциллируют с расстоянием как по величине, так и по знаку, наряду с исходной гексагональной симметрией кристаллов данного семейства указывает на конкуренцию этих взаимодействий, что приводит к различным структурам в основном состоянии и может привести к большому разнообразию последовательных фазовых переходов при изменении температуры. Это действительно имеет место в кристаллах $ACBX_4$. Полученное здесь уточнение периода вдоль гексагональной оси в основном состоянии для кристаллов K_2SeO_4 и Rb_2ZnCl_4 указывает (согласно симметрийному анализу) на существование модулированных фаз в этих кристаллах при конечных температурах, что также подтверждается экспериментально.

Следует подчеркнуть, что при расчете констант взаимодействия использовались экспериментальные значения поляризуемостей α_A и α_C [25], и при этом мы не учитывали диполь-дипольных взаимодействий, возникающих при смещениях атомов металла. Эти взаимодействия можно учесть, рассматривая эффективные поляризуемости, представляющие собой сумму электронной и упругой поляризуемостей. Если упругий вклад в α большой, это может существенным образом изменить величины эффективных констант взаимодействия и в некоторых случаях структуру основного состояния. Но в этом случае α_A и α_C будут неизвестными параметрами.

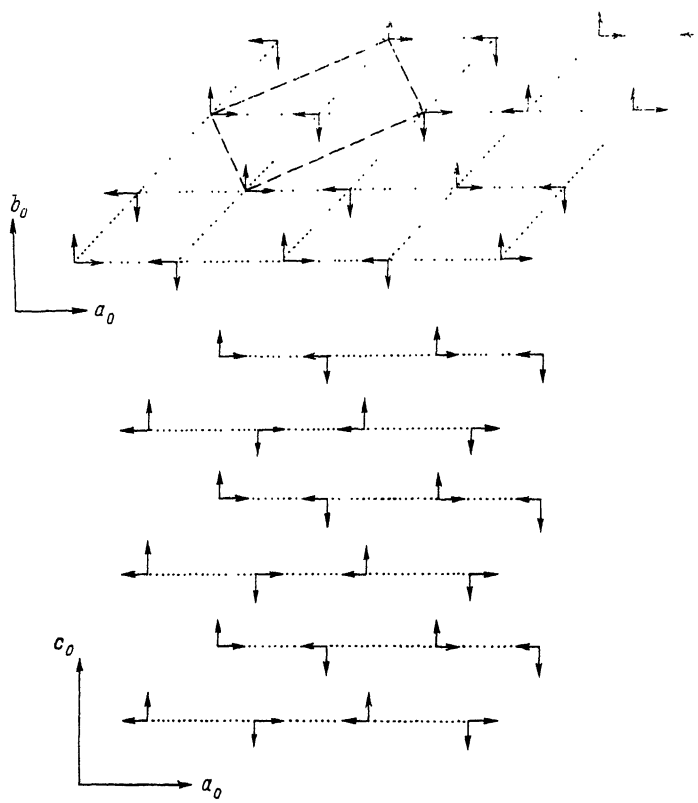


Рис. 6. Структура основного состояния для кристаллов KLiSO_4 и CsLiSO_4 .

Расчет фазовых диаграмм и термодинамики фазовых переходов в кристаллах рассматриваемого семейства будет сделан в следующих работах.

Авторы выражают благодарность К. С. Александрову за обсуждение результатов.

Список литературы

- [1] Eysel W. // Structure und Kristallchemische Verwandschaft bei Verbundungen $\text{A}(\text{BX}_4)$ und $\text{A}_2(\text{BX}_3)$. Dissertation—Aachen, 1975. 167 s.
- [2] Muller O., Roy R. The major ternary structural families. Berlin—Heidelberg—New York: Springer-Verlag, 1974. 488 s.
- [3] Александров К. С., Безносиков Б. В. Структурные фазовые переходы в кристаллах (семейство сульфата калия). (В печати).
- [4] Ковба Л. М., Лыкова Л. Н., Антипов Е. В. // Координац. химия. 1985. Т. 11. № 11. С. 1574—1576.
- [5] Makita Y., Sawada A., Takagi Y. // J. Phys. Soc. Japan. 1976. V. 59. N 1. P. 174—180.
- [6] Izumi M., Axe J. D., Shirane G. // Phys. Rev. 1977. V. B15. N 9. P. 4392—4411.
- [7] Yamada N., Nanaka A., Kawano Sh. // J. Phys. Soc. Japan. 1987. V. 56. N 8. P. 2765—2776.
- [8] Hedaux A., Grebille D., Jand J., Godefroy G. // Acta Crystall. 1989. V. B45. N 4. P. 370—378.
- [9] Incommensurate phase in dielectrics. Fundamental / Ed. R. Blinc, A. Levanyuk. Amsterdam, North Holland, 1986.
- [10] Parlinsky R., Denoyer F. // J. Phys. C: Solid State Phys. 1985. V. 18. P. 293—308.
- [11] Suzuki H., Shimizu F., Takashige M., Sawada S., Yamaguchi T. // J. Phys. Soc. Japan. 1990. V. 59. N 1. P. 191—196.
- [12] Зиненко В. И., Блат Д. Х. // ФТГ. 1978. Т. 20. № С. 3539—3541.
- [13] Зиненко В. И., Блат Д. Х., Александров К. С. // Препринт Ин-та физики СО АН СССР. № 102Ф. Красноярск, 1979. 67 С.
- [14] Mashiyama H., Kasano H., Yamaguchi T. // J. Phys. Soc. Japan. 1991. V. 60. N 1. P. 45—48.

- [15] Katkanat V., Edwardson P., Hardy J., Boyer L. L. // Phys. Rev. Lett. 1986. V. 57. P. 2033—2038.
- [16] Aleksandrov K. S., Besnosikov B. V., Blat D. H., Kruglik A. I., Klevtsov P. V., Flerov I. N. // Ferroelectrics. 1989. V. 95. P. 3—7.
- [17] Yamada J., Mori M., Nada Y. // J. Phys. Soc. Japan. 1972. V. 32. P. 1565—1577.
- [18] Вакс Б. Г. Введение в микроскопическую теорию сегнетоэлектриков. М.: Наука, 1973. 328 с.
- [19] Вакс Б. Г., Шнейдер В. Е. // Препринт ин-та физики СО АН СССР № 32Ф. Красноярск, 1975. 40 с.
- [20] Huller A. // Z. Physik. 1972. V. B254. P. 456—464.
- [21] James H. M., Keenan T. A. // J. Chem. Phys. 1959. V. 31. N 4. P. 12—41.
- [22] Варшалович Д. А., Москалев А. Н., Херсонский В. К. Квантовая теория углового момента. Л.: Наука, 1975. 439 с.
- [23] Борн М., Кунь Х. Динамическая теория кристаллических решеток. М.: ИЛ, 1958. 488 с.
- [24] Малеев С. В. // ЖЭТФ. 1976. Т. 70. № 6. С. 2374—2390.
- [25] Brumer P., Karplus V. // J. Chem. Phys. 1973. V. 58. N 9. P. 3903—3918.
- [26] Круглик А. И. // Автограф. канд. дис. Красноярск, 1981. 186 с.
- [27] Yamada N., Ono Y., Ikeda T. // J. Phys. Soc. Japan. 1984. V. 53. N 7. P. 2565—2574.
- [28] Quilichini M., Pannetier J. // Acta Cryst. 1983. V. B39. P. 657—663.
- [29] Tomaszewski P. E., Lukaszewicz K. // Phase Transitions. 1983. V. 4. P. 37—45.

Институт физики им. Л. В. Киренского СО РАН
Красноярск

Поступило в Редакцию
19 февраля 1992 г.